

Laboratorio 1: Potencia en aplicaciones domésticas

Jorge Lambraño³, Julian Rojas², Juan Sánchez³

¹jelambrano, ²drojasj, ³paradac @uninorte.edu.co

Resumen—This report presents the design and implementation of a security box and a dimmer circuit using DIACs and TRIACs. The reader also can find the validation review with the theoretical model seen in class.

Palabras clave—Armónico, Corriente, Distorsión, Factor de Potencia, Potencia, Tensión, Transformada de Fourier, Voltaje.

I. INTRODUCCIÓN

El objetivo principal de esta práctica es realizar un análisis de la forma de onda y las mediciones de tres tipos diferentes de carga. Dentro de la caja de seguridad hay un fusible para proteger el equipo de cualquier corto circuito. Usamos una resistencia de 1Ω y 10 W para medir la corriente dividiendo la tensión entre 1 para obtener el valor actual. Todos los dispositivos electrónicos están compuestos de resistencias, condensadores e inductancias, un soldador es una carga lineal resistiva, requieren calor para funcionar. El voltaje medido sería el mismo que el de la fuente, pero la corriente variará según el consumo de energía del dispositivo. Esperamos la misma forma de onda para el voltaje y la corriente y ningún cambio de fase entre ellos.

Un taladro es una carga lineal inductiva, basado en el hecho de que los motores están hechos de bobinas. Debería haber un cambio de fase entre el voltaje y la corriente. La computadora portátil es una carga no lineal, la forma de onda del voltaje sería la misma, pero esperamos una forma diferente para la corriente.

La segunda parte consiste en diseñar y desarrollar un controlador de CA compuesto por un DIAC y un QUADRAC. Este tipo de circuito puede cambiar el voltaje RMS en los terminales de una carga lineal

manipulando el ángulo de disparo del QUADRAC usando un potenciómetro. La carga ya no será lineal debido al circuito resultante entre la bombilla y el controlador AC.

II. PROCEDIMIENTO Y ANÁLISIS DE RESULTADOS

II-A. Cálculos de Potencia

El objetivo de esta práctica es medir el consumo eléctrico de dispositivos cotidianos, tales como computadores portátiles, un pequeño taladro y un cautil. Teniendo en cuenta los valores altos de tensión y corriente que se pueden encontrar en instalaciones eléctricas domésticas, se tomaron todas las precauciones necesarias para garantizar seguridad a los dispositivos, instrumentos de medición y a las personas que realizan la medición. Para poder obtener los valores de tensión, corriente y corriente se diseñó un circuito que junto con el osciloscopio, es capaz de permitir la obtención de valores de tensión y corriente. El diseño del circuito se encuentra ilustrado en la Figura 1.

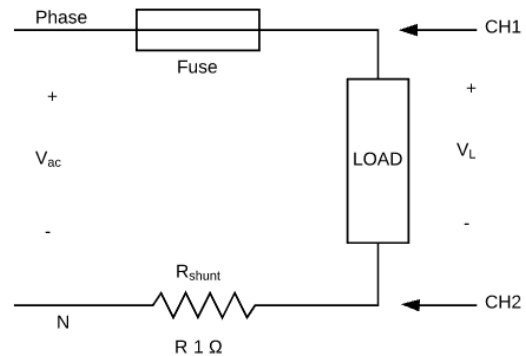


Figura 1: Circuito utilizado para la obtención de los valores de corriente y tensión.

CH1 y *CH2* representan los puntos donde se toman el osciloscopio toma las medidas a través de

las sondas de los canales 1 y 2 del osciloscopio, *Phase* y *N* corresponden a la fase y al neutro de la red a la que se conecta el circuito. V_{ac} representa la onda de $120V_{rms}$ que entrega la red eléctrica. *Fuse* representa un fusible cuyo valor se explicará más adelante, *Rshunt* representa una resistencia de potencia de 1Ω y $10 W$. *LOAD* corresponde al dispositivo al que se va a realizar la medición.

Se puede observar del gráfico que el valor de tensión que cae en el dispositivo es la diferencia de los datos que se obtienen en los canales del osciloscopio. $V_L = CH1 - CH2$. Y la corriente que pasa a través del dispositivo es la razón entre la tensión que se obtiene en el canal *CH2* y el valor de la resistencia. Esto es el valor del canal, puesto que la resistencia es de 1Ω . Esta información es muy útil para los cálculos de potencia que se explicarán más adelante.

Dispositivo	Potencia (W)	Tensión (V _{rms})	Corriente (A _{rms})
Cautín	40	120	0.33
Taladro	130	120	1.08
Portátil	140	120	1.16
Bombillo	70	120	0.58
Resistencia	10	-	3.17

Tabla I: Power and current values of each device.

Con respecto al calibre del alambre, fue seleccionado dependiendo de la máxima corriente que necesita cada dispositivo, de acuerdo con los parámetros eléctricos que se muestran en la descripción del dispositivo. Estos valores de corriente son mostrados en la Tabla I. Basándose en la Tabla I se seleccionó un alambre AWG 14 capaz de soportar una corriente máxima de $15A_{rms}$, puesto que es que utiliza normalmente en instalaciones eléctricas domésticas. La corriente máxima que soporta el fusible es $3A_{rms}$, se escogió este valor basándose en la máxima corriente que es capaz de soportar la resistencia.

El circuito se introdujo dentro de una caja 4x4, el fusible se ubicó de tal forma que no fuese necesario abrir la caja en caso que fuera necesario reemplazarlo. Además se colocaron cuatro borneras para poder medir de forma más segura usando las

sondas del osciloscopio.



Figura 2: Imagen del montaje del circuito.

En esta práctica se utilizaron tres cargas diferentes para analizar las formas de onda de corriente y tensión: Un *cautín* como ejemplo de una carga puramente resistiva, un *taladro* como carga inductiva y un *computador portátil* como carga no lineal. Gracias a la inercia de la red eléctrica, la onda de tensión no depende de la carga, esto hace que la medida de la tensión sea similar para todas las cargas. Sin embargo, la onda de corriente depende de la impedancia de la carga. Por esta razón, el análisis de potencia se centrará en la forma de onda de la corriente, y se espera que la distorsión en la onda de tensión sea mínima. En otras palabras, mientras el valor de la Distorsión Total Armónica de Tensión THD_V se mantenga más o menos constante, el valor de la Distorsión Total Armónica de Corriente THD_I varíe según la carga que se esté midiendo.

II-A1. Cautín (carga resistiva): La onda de corriente para esta carga fue una señal sinusoidal que no presentaba ninguna distorsión y además se encontraba en fase con la onda de voltaje. Las imágenes de las formas de onda que se obtuvieron en el osciloscopio se observan en la Figura 3.

Adicionalmente, en una carga resistiva, el producto de la onda de corriente y tensión siempre es positivo, esto significa que un cautín funciona siempre como un consumidor de potencia ya que por su naturaleza no es capaz de entregar energía.

La Transformada de Fourier permite identificar las componentes armónicas de la señal de corriente.

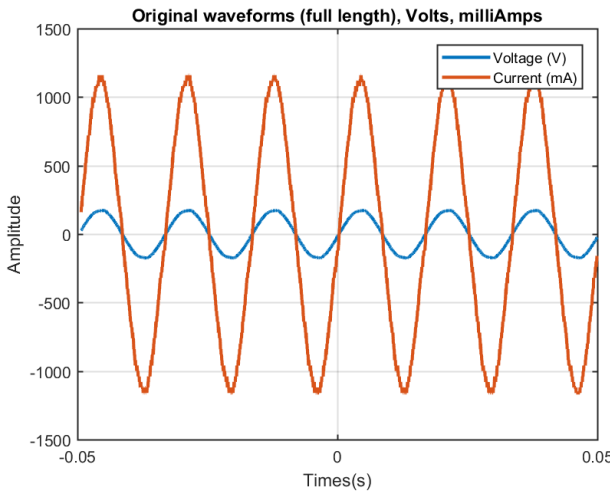


Figura 3: Ondas de tensión y corriente para una carga resistiva.

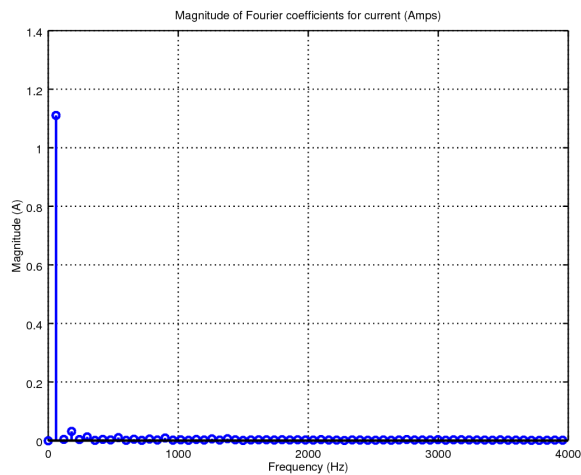


Figura 4: Fourier current coefficients for resistive load.

De acuerdo con la Figura 4, la onda de corriente solamente tiene la componente de la frecuencia fundamental (60Hz), las demás son despreciables. Por tanto, no hay distorsión, el factor de potencia *PF* es casi unitario, mientras que la Distorsión Total Armónica de Corriente *THD_I* es muy pequeña. Esto lo confirma la Salida 1, en donde el Factor de Potencia es 0.9989, la potencia activa *P* es muy alta en comparación a la potencia reactiva *Q* y a la potencia de distorsión *D* y la Distorsión Armónica de Corriente *THD_I* es 4 %.

Salida 1: Carga resistiva.

T	=	0.0167 s
f ₀	=	59.9520 Hz
V _{rms}	=	123.3322 V
I _{rms}	=	0.7860 A
S	=	96.9336 VA
P _{avg}	=	96.8309 W

P	=	96.8309 W
Q	=	-1.8282 VAR
D_fast	=	4.0701 VA
D	=	4.0562 VA
PF	=	0.9989
THD_V	=	1.8878 %
THD_I	=	4.0154 %

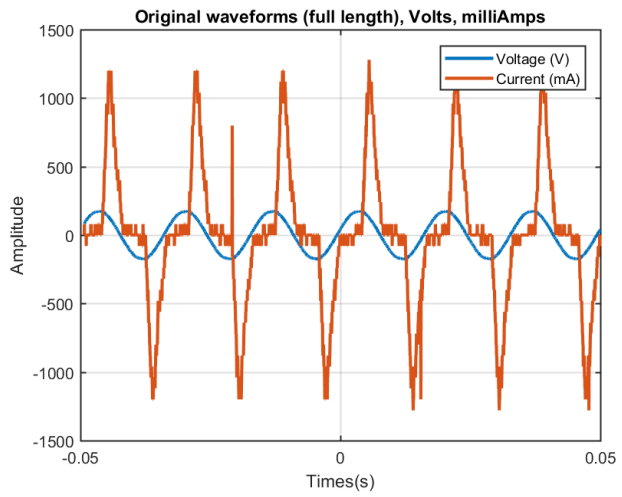


Figura 5: Voltage and current waveforms of a inductive load.

II-A2. Taladro (carga inductiva): El comportamiento de la corriente en una carga inductiva es diferente al comportamiento en una carga resistiva. La forma de la corriente no es una puramente sinusoidal, aparecen componentes armónicas que distorsionan la forma de la señal. La forma de onda de la corriente se puede observar en la Figura 5.

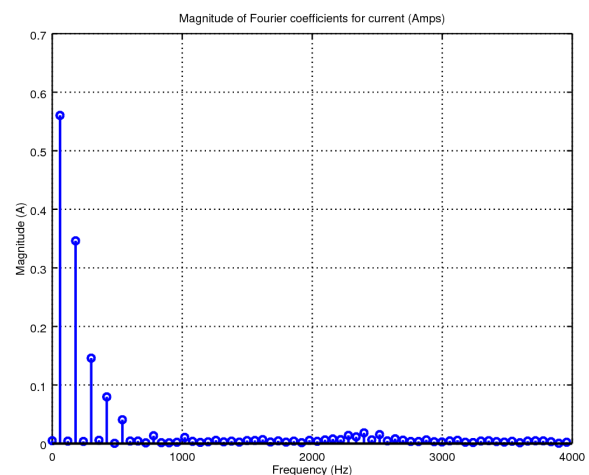


Figura 6: Fourier current coefficients for inductive load.

La presencia de las componentes armónicas se observa con mayor claridad gracias a la

Transformada de Fourier, esta transformada aparece en la Figura 6. La Transformada de Fourier de la señal de corriente presenta fuertes componentes armónicas en las frecuencias $3f_0$, $5f_0$, $7f_0$ y $9f_0$, donde f_0 es la frecuencia fundamental (60Hz). Además de las componentes armónicas existe un desfase entre la onda de corriente y tensión. Este desfase es una característica importante de las cargas inductivas.

A diferencia de una carga resistiva, el valor de la Potencia Reactiva Q y de la Distorsión Total Armónica de Corriente es mucho más alto. Tanto así que hacen que el valor del Factor de Potencia p_f sea muy bajo, aproximadamente 0.51. Los motores y otras cargas inductivas, por lo general tienen un factor de potencia más alto (entre 0.75 y 0.9), una causa por la cual el factor de potencia durante la medición fue mucho más bajo que estos valores es la presencia de un circuito eléctrico que regula la velocidad y el torque del motor del taladro. Este circuito electrónico para valores bajos de velocidad, genera distorsión en la señal de corriente la cual tiene el efecto de aumentar el THD_I , la Potencia de Distorsión D y por tanto, reducir el Factor de Potencia. En la segunda parte de este informe se analizará más detalladamente el efecto de circuitos electrónicos controladores de potencia.

Salida 2: Output for inductive load.

T	=	0.0167 s
f0	=	59.9520 Hz
Vrms	=	123.8850 V
Irms	=	0.4831 A
S	=	59.8537 VA
Pavg	=	30.4372 W
P	=	30.4372 W
Q	=	38.7767 VAR
D_fast	=	33.9472 VA
D	=	33.9434 VA
PF	=	0.5085
THD_V	=	1.8561 %
THD_I	=	69.7550 %

Salida 3: Output for non-linear load.

T	=	0.0167 s
f0	=	59.9520 Hz
Vrms	=	124.3447 V
Irms	=	0.3916 A
S	=	48.6915 VA
Pavg	=	23.9965 W
P	=	23.9965 W
Q	=	-5.7979 VAR
D_fast	=	41.9692 VA
D	=	41.9644 VA
PF	=	0.4928

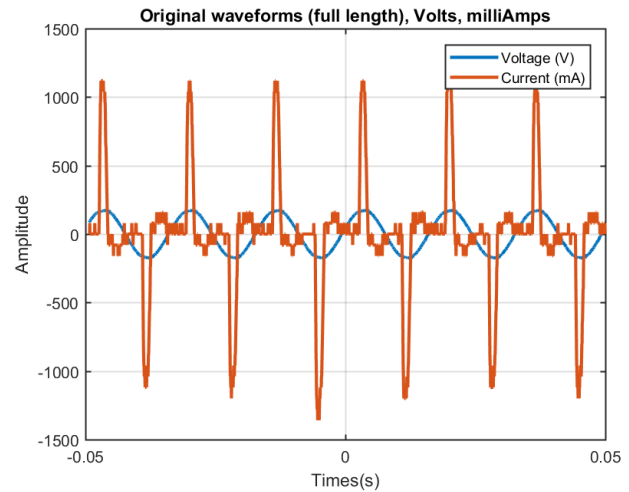


Figura 7: Voltage and current waveforms of a non-linear load.

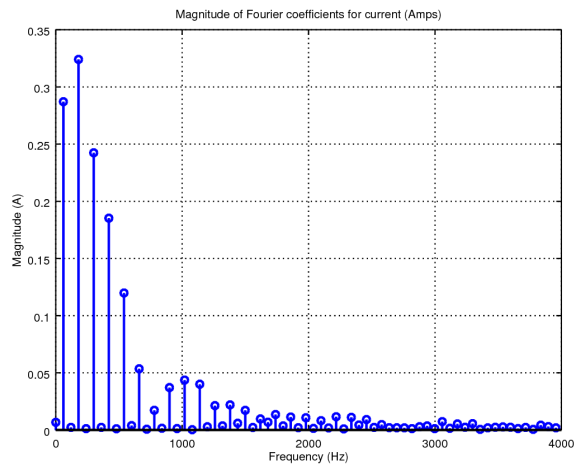


Figura 8: Fourier current coefficients for non-linear load.

$$\begin{aligned} THD_V &= 2.2668 \% \\ THD_I &= 164.9239 \% \end{aligned}$$

II-B. Controlador AC

Cuando el voltaje a través del capacitor alcanza el voltaje de ruptura del DIAC, éste se encuentra parcialmente descargado por el DIAC a través de la compuerta del QUADRAC. En ese momento el QUADRAC entra en modo conducción en el ciclo de media onda. En este circuito el QUADRAC se encuentra en los cuadrantes I y III. La simplicidad de este circuito hace que sea accesible para aplicaciones con pequeño control de rango. Los circuitos dimmer se basan en el control de potencia que se logra variando el ángulo de conducción del QUADRAC, de 30° a 160° cuando fluye la corriente por un potenciómetro que tiene la función

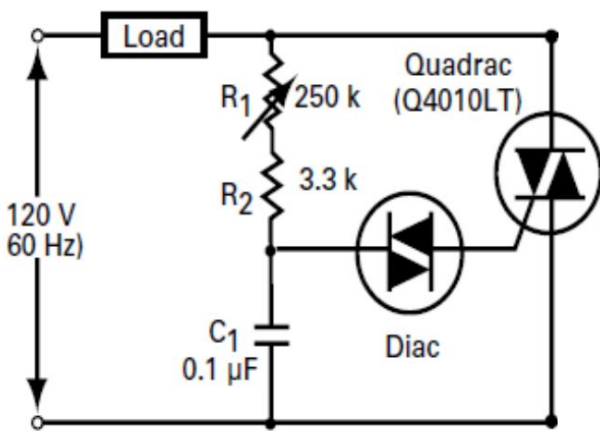


Figura 9: AC controller circuit.

de controlarla.

	P (W)	Q (VAR)	D (VA)	S (VA)	PF	THDI (%)
NoCtrl	77.24	-3	3	77.36	0.999	4.01
Pos 0	74.2	0.1	5.1	74.37	0.998	6.23
Pos 1	69.8	10.5	17.29	72.68	0.96	23.99
Pos 2	53.64	23.48	31.41	66.45	0.807	53.48
Pos 3	40.19	27.81	35.69	60.51	0.664	73.58
Pos 4	30.47	28.41	37.36	55.96	0.545	89.63

Tabla II: Power measures from different controller values

III. CONCLUSIONES

La carga resistiva muestra un factor de potencia de casi unitario. La carga inductiva tiene una forma de corriente rizada gracias al tipo de motor que se utiliza en el taladro. La carga no lineal muestra una forma de onda rizada que depende del circuito dentro del dispositivo electrónico.

El dimmer permite regular la potencia de la bombilla. Teniendo en cuenta que una bombilla es resistiva, la efectividad depende del voltaje y la corriente que se encuentra en éste.

El circuito controla la alimentación de la bombilla encendiendo y apagando durante las regiones positiva y negativa de la señal sinusoidal de entrada. Durante la parte negativa de la señal de entrada, se obtendrá el mismo tipo de respuesta, ya que tanto el DIAC como el QUADRAC se

pueden disparar en la dirección inversa. Al variar la resistencia R, es posible controlar el ángulo de conducción.

Acerca de las cargas inductivas y no lineales, no se debe utilizar el circuito dimmer, ya que ambos dependen del factor de potencia y de la forma de onda de tensión y corriente.

Los dispositivos electrónicos, como el DIAC y el QUADRAC, permiten construir circuitos para controlar la potencia de una carga resistiva.

REFERENCIAS

- [1] H. Kopka and P. W. Daly, *A Guide to L^AT_EX*, 3rd ed. Harlow, England: Addison-Wesley, 1999.